

P6318/2
994

ISSN 0021-3454

140

ПРИБОРСТРОЕНИЕ

100 110 120 130 140 150 160 170 180

Figure 1. A schematic diagram of the experimental setup for the measurement of the absorption coefficient.

WVU LIBRARIES

三三三

P. maniculatus rarely if ever occurs in the same habitat as *P. maniculatus*, but it is often found in the same vegetation as *P. maniculatus*. It is also found in the same habitats as *P. maniculatus*.

В видимых спектрах изображения обработаны с помощью методов наблюдения в оптическом диапазоне. Эти процессы не являются критичными для результатов спектральной обработки, так как они не отличаются источниками ошибок. Для этого изображений применяется метод обработки изображений [3].

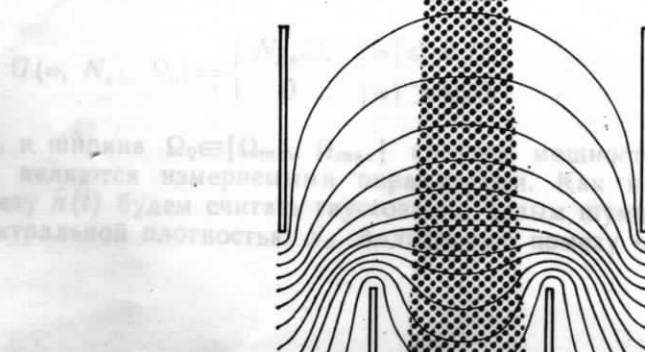
В работе [6] при помощи спектральной когерентной лазерной генерации и исследование спектра макро- и микротемпературного излучения в области 100-1500 нм показано, что волна с коротким вспышечным излучением не содержит теплового излучения, то есть подтверждается гипотеза о том, что волна с коротким вспышечным излучением не содержит теплового излучения.

График, в отличие от [5], что для каждого изображения [10-17] находим оптимальную реализацию гауссова фильтра с заданным радиусом.

$$X(i) = \text{sgn}(1 - \alpha_i) \cdot \text{sgn}(\beta_i) \cdot \varphi(\beta_i)$$

Бук «Г» — глусовский ставной знак, имеющий в своем спектре моновости

Влияние $N_{\text{ш}}$ и ширины $\Omega_0 \in [0, \pi]$ на форму спектральной плотности $A(\nu)$ для каждого сигнала является измеримым. Вид спектральной плотности $A(\nu)$ будем считать оптимальным, если он имеет минимальную полосу пропускания в соответствии с выражением (1).



Информационно-измерительная техника

УДК 621.391

СОВМЕСТНАЯ ОЦЕНКА ПАРАМЕТРОВ СПЕКТРА МОЩНОСТИ СЛУЧАЙНОГО СИГНАЛА НА ФОНЕ ПОМЕХИ С НЕИЗВЕСТНОЙ ВЕЛИЧИНОЙ СПЕКТРАЛЬНОЙ ПЛОТНОСТИ

А. П. ТРИФОНОВ, Е. П. НЕЧАЕВ, С. П. АЛЕКСЕЕНКО

Воронежский государственный университет

Предложен способ аппаратурной реализации измерителя величины и ширины спектра мощности гауссовского центрированного случайного сигнала на фоне помехи с неизвестной величиной спектральной плотности. Методом локально-мартковской аппроксимации определены характеристики измерителя.

В задачах связи [1], локации [2], радиоастрономии [3] и распознавания образов часто возникает необходимость в определении параметров наблюдаемого случайного процесса. Многие реальные случайные процессы, как сигналы, так и помехи [4], представляют собой результат сложения большого числа относительно слабых сигналов от различных источников. Для описания таких процессов широко используется гауссовская модель [1—6].

В работе [5] предложен способ аппаратурной реализации и исследована эффективность измерителя величины и ширины спектра мощности случайного сигнала на фоне гауссовского белого шума с априори известной спектральной плотностью N_0 . В то же время часто возникает необходимость в измерении параметров случайного сигнала при наличии, кроме белого шума, широкополосной аддитивной помехи с неизвестной в общем случае величиной спектральной плотности.

Положим, в отличие от [5], что на интервале времени $[0, T]$ наблюдается реализация гауссовского случайного процесса

$$x(t) = s(t) + n(t) + v(t), \quad (1)$$

где $s(t)$ — гауссовский стационарный центрированный случайный сигнал со спектром мощности

$$G(\omega, N_{s0}, \Omega_0) = \begin{cases} N_{s0}/2, & |\omega| \leq \Omega_0/2; \\ 0, & |\omega| > \Omega_0/2. \end{cases}$$

Величина N_{s0} и ширина $\Omega_0 \in [\Omega_{\min}, \Omega_{\max}]$ спектра мощности случайного сигнала являются измеряемыми параметрами. Как и в [5], аддитивную помеху $n(t)$ будем считать гауссовским белым шумом с односторонней спектральной плотностью N_0 . Аддитивную помеху $v(t)$ по-

лагаем стационарным центрированным гауссовским случайным процессом со спектром мощности

$$G_v(\omega, N_{v0}) = \begin{cases} N_{v0}/2, & |\omega| \leq \omega_{\max}/2; \\ 0, & |\omega| > \omega_{\max}/2. \end{cases}$$

Спектральные плотности аддитивных помех N_0 и N_{v0} в общем случае неизвестны, кроме того $\omega_{\max} > \Omega_{\max}$ и процессы $s(t)$, $n(t)$ и $v(t)$ статистически независимы.

Для определения параметров сигнала $s(t)$ по наблюдаемой реализации (1) можно использовать измеритель, рассмотренный в [5]. Полагая, что время наблюдения T достаточно велико,

$$\mu = T\Omega_0/4\pi \gg 1, \quad (2)$$

найдем характеристики оценок $\hat{\Omega}_1$ и \hat{N}_{1s} , получаемых с помощью измерителя [5]. Для этого, следуя [5], выходной сигнал измерителя представим в виде суммы сигнальной и шумовой функций. Анализ изменения сигнальной функции при наличии широкополосной помехи $v(t)$ показывает, что она достигает максимума при $\Omega = \Omega_0$, только если

$$(1+q+Q)\ln(1+q+Q) - (Q+q)(Q+1) > 0, \quad (3)$$

здесь $q = N_{s0}/N_0$, $Q = N_{v0}/N_0$. Неравенство (3) определяет возможность использования измерителя [5] при наличии широкополосной помехи $v(t)$, если оно не выполняется, то измеритель неработоспособен.

Используя методику [5] для рассеяний (средних квадратов ошибок) оценок в измерителе, находим выражения

$$\begin{aligned} V(\hat{\Omega}_1) = <(\hat{\Omega}_1 - \Omega_0)^2> = & 8\pi^2 [(1+Q+q)^4 \Gamma_1^4 (2\Gamma_2^3 - (\Gamma_2 - \Gamma_1)^2 \times \\ & \times (2\Gamma_2 - \Gamma_1)) + (\Gamma_2 - \Gamma_1)^4 (1+Q)^4 (2\Gamma_2^3 - \Gamma_1^2 (\Gamma_2 + \Gamma_1))] T^{-2} \times \\ & \times (Q+q)^{-4} (1+Q)^{-4} \Gamma_1^{-4} \Gamma_2^{-3} (\Gamma_2 - \Gamma_1)^{-4}; \end{aligned}$$

$$V(\hat{N}_{1s}) = <(\hat{N}_{1s} - N_{s0})^2> = N_{v0}^2 + (N_0 + N_{v0} + N_{s0})^2 / \mu,$$

где

$$\Gamma_1 = (Q+q - \ln(1+Q+q)) / (Q+q)^2,$$

$$\begin{aligned} \Gamma_2 = q[(q(1+Q)^{-1}(Q+q)^{-1} + 2(Q+q)^{-1}) \ln(1+Q+q) - 1] \times \\ \times (Q+q)^{-1}(1+Q)^{-1}. \end{aligned}$$

Полагая здесь $Q=0$, приходим к полученным в [5] выражениям для характеристик оценок в отсутствие широкополосной помехи $v(t)$.

Описать проигрыш в точности измерения из-за наличия широкополосной помехи можно отношениями $\chi_1 = V(\hat{\Omega}_1)/V(\hat{\Omega}_1|\Omega_0, N_{s0})$, $\rho_1 = V(\hat{N}_{1s})/V(\hat{N}_{1s}|\Omega_0, N_{s0})$, здесь при $Q=0$ $V(\hat{\Omega}_1|\Omega_0, N_{s0}) = V(\hat{\Omega}_1)$ и $V(\hat{N}_{1s}|\Omega_0, N_{s0}) = V(\hat{N}_{1s})$ — рассеяния оценок в отсутствие широкополосной помехи. Зависимости $\chi_1(q)$ и $\rho_1(q)$ при $\mu=100$ нанесены сплошными линиями на рис. 1 и 2 соответственно: кривая 1 рассчитана для значения $Q=0,5$; кривая 2 — для $Q=0,8$; кривая 3 — для $Q=1$. Как следует из анализа изменения сплошных кривых, наличие широкополосной помехи $v(t)$ приводит к существенному снижению точности оценок, вырабатываемых измерителем [5].

Точность измерения величины и ширины спектра мощности случайног о сигнала $s(t)$ можно повысить, используя устройство, реализующее совместные оценки параметров случайного сигнала и неизвестной величины спектральной плотности широкополосной помехи $v(t)$. Для определения структуры такого устройства, адаптирующегося к широкополосной помехе с неизвестной мощностью, используем метод максимального правдоподобия [5, 6].

Введем в рассмотрение три вспомогательные гипотезы H_i , $i=0, 1, 2$. Гипотеза H_2 предполагает, что реализация наблюдаемых данных имеет вид (1). Гипотеза H_1 предполагает, что случайный сигнал отсутствует,

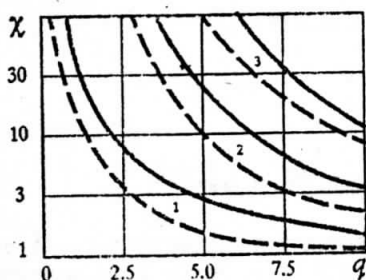


Рис. 1

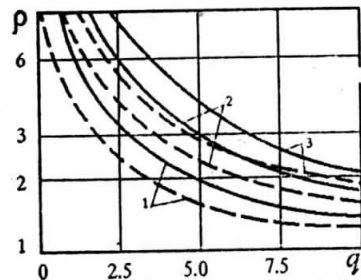


Рис. 2

так что наблюдается реализация $x(t) = v(t) + n(t)$. Наконец, гипотеза H_0 предполагает, что наблюдается только белый шум, и $x(t) = n(t)$.

Обозначим $F_2[\Omega, N_s, N_v]$ — логарифм функционала отношения правдоподобия для гипотезы H_2 при альтернативе H_0 и $F_1[N_v]$ — логарифм функционала для гипотезы H_1 при той же альтернативе. Тогда оценки максимального правдоподобия (ОМП) величины \hat{N}_{2s} и ширины $\hat{\Omega}_2$ спектра мощности случайного сигнала $s(t)$ при наличии широкополосной помехи с неизвестной спектральной плотностью мощности можно записать в виде [6]

$$\left. \begin{aligned} (\hat{\Omega}_2, \hat{N}_{2s}) &= \arg \sup M(\Omega, N_s), \\ M(\Omega, N_s) &= \sup_{N_v} F_2[\Omega, N_s, N_v] - \sup_{N_v} F_1[N_v]. \end{aligned} \right\} \quad (4)$$

Введение вспомогательных гипотез H_i , $i=0, 1, 2$, позволяет избежать существенных математических трудностей при получении логарифма функционала отношения правдоподобия. В результате, используя [2, 6], имеем

$$F_2[\Omega, N_s, N_v] = \frac{(N_s + N_v)T}{\pi N_0(N_s + N_v + N_0)} \int_0^{\Omega/2} s_T(\omega) d\omega + \\ + \frac{N_v T}{\pi N_0(N_v + N_0)} \int_{\Omega/2}^{\omega_{\max}/2} s_T(\omega) d\omega - \frac{T}{4\pi} \left[\Omega \ln \left(1 + \frac{N_s + N_v}{N_0} \right) + \right. \\ \left. + (\omega_{\max} - \Omega) \ln \left(1 + \frac{N_v}{N_0} \right) \right], \quad (5)$$

$$F_1[N_v] = F_2[0, 0, N_v]. \quad (6)$$

где $s_T(\omega) = |\int_0^T x(t) \exp(-j\omega t) dt|^2/T$ — периодограмма реализации наблюдаемых данных.

Подставляя (5), (6) в (4), находим ОМП величины и ширины спектра мощности случайного сигнала

$$\hat{N}_{2s} = 4 \left[\int_0^{\hat{\Omega}_2/2} s_T(\omega) d\omega / \hat{\Omega}_2 - \int_{\hat{\Omega}_2/2}^{\omega_{\max}/2} s_T(\omega) d\omega / (\omega_{\max} - \hat{\Omega}_2) \right]; \quad (7)$$

$$\hat{\Omega}_2 = \arg \sup M(\Omega), \quad \Omega \in [\Omega_{\min}, \Omega_{\max}]; \quad (8)$$

$$M(\Omega) = - \frac{T}{4\pi} \left\{ \Omega \ln \left[\int_0^{\Omega/2} s_T(\omega) d\omega / C \Omega \right] + \right. \\ \left. + (\omega_{\max} - \Omega) \ln \left[\int_{\Omega/2}^{\omega_{\max}/2} s_T(\omega) d\omega / C (\omega_{\max} - \Omega) \right] \right\}, \quad (9)$$

где C — произвольная постоянная величина, имеющая размерность спектральной плотности. Согласно (7), (8) оценки чиаварианты по от-

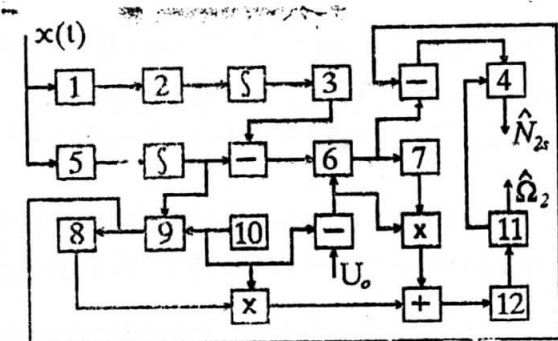


Рис. 3

ношению к величинам спектральных плотностей широкополосной помехи и белого шума.

Один из способов построения измерителя (последовательный) показан на рис. 3, где 1 — фильтр, передаточная функция которого удовлетворяет условию $|H(j\omega)|^2=1$ при $|\omega| \leq \omega_{\max}/2$ и $|H(j\omega)|^2=0$ при $|\omega| > \omega_{\max}/2$; 2 — квадратор; 3 — усилитель с коэффициентом усиления $\Delta t/T\Omega_{\max}$, $\Delta t \gg T$ — время анализа; 4 — стробирующее устройство; 5 — последовательный спектроанализатор, анализирующий за время Δt диапазон частот $[0, \Omega_{\max}/2]$; 6, 9 — делители, вырабатывающие отношение входных сигналов; 7, 8 — усилители с логарифмическими характеристиками; 10 — генератор линейно возрастающего сигнала $u(t) = -t/2$ на интервале времени $[\Delta t\Omega_{\min}/\Omega_{\max}, \Delta t]$; 11 — решающее устройство, которое фиксирует положение \hat{t} абсолютного максимума входного

сигнала на интервале времени $[\Delta t \Omega_{\min}/\Omega_{\max}, \Delta t]$ и в момент \hat{t} формирует сигнал, открывающий стробирующее устройство 4; 12 — инвертор; величина $U_0 = \omega_{\max} \Delta t / 2\Omega_{\max}$. Оценка ширины спектра мощности $\hat{\Omega}_2$ однозначно связана с \hat{t} соотношением $\hat{\Omega}_2 = \hat{t}\Omega_{\max}/\Delta t$, а амплитуда сигнала на выходе блока 4 является оценкой величины спектра мощности \hat{N}_{2s} . Выходные сигналы данного устройства с точностью до постоянных множителей совпадают с оценками величины и ширины спектра мощности. Поэтому возникает необходимость в градуировке прибора. Градуировку можно провести стандартными методами, подавая на вход серию тестовых сигналов с полосовым спектром мощности.

Получим характеристики оценок величины (7) и ширины (8) спектра мощности. Полагая справедливым условие (2), при котором ОМП \hat{N}_{2s} и $\hat{\Omega}_2$ обладают высокой апостериорной точностью, исследуем аналогично [5] поведение случайного процесса (9) в малой окрестности точки Ω_0 . Отсюда следует, что с увеличением времени наблюдения процесс (9) в малой окрестности Ω_0 может быть аппроксимирован марковским гауссовским процессом. Применяя затем метод локально-марковской аппроксимации [7], находим выражения для рассеяний (средних квадратов ошибок) оценок, вырабатываемых измерителем, показанным на рис. 3:

$$V(\hat{\Omega}_2) = 8\pi^2 [(1+Q+q)^4 \gamma_1^4 (2\gamma_2^3 - (\gamma_2 - \gamma_1)^2 (2\gamma_2 - \gamma_1)) + (1+Q)^4 \times \\ \times (\gamma_2 - \gamma_1)^4 (2\gamma_2^3 - \gamma_1^2 (\gamma_2 + \gamma_1))] T^{-2} q^{-4} \gamma_1^{-4} \gamma_2^{-3} (\gamma_2 - \gamma_1)^{-4}; \quad (10)$$

$$V(\hat{N}_{2s}) = [(N_0 + N_{v0} + N_{s0})^2 + (N_0 + N_{v0})^2 / (\omega_{\max}/\Omega_0 - 1)]/\mu,$$

где

$$\gamma_1 = (1+Q)^2 (q/(1+Q) - \ln [(1+Q+q)/(1+Q)])/q^2,$$

$$\gamma_2 = (1+2(1+Q)/q) \ln [(1+Q+q)/(1+Q)] - 1.$$

Как и следовало ожидать, характеристики оценок не зависят от выбора постоянной величины C в формуле (9).

Полагая в (10) $Q=0$, получаем, что точности оценок ширины спектральной плотности в измерителе [5] и измерителе, показанном на рис. 3, совпадают в отсутствие широкополосной помехи. Однако при ее наличии точность оценок величины и ширины спектра мощности в измерителе, оказывается выше. В этом случае выигрыш в точности можно охарактеризовать отношениями $\chi_2 = V(\hat{\Omega}_1)/V(\hat{\Omega}_2)$, $\rho_2 = V(\hat{N}_{1s})/V(\hat{N}_{2s})$. Зависимости $\chi_2(q)$ и $\rho_2(q)$, рассчитанные при $\omega_{\max} \gg \Omega_0$ для значений μ и Q , принятых при вычислении χ_1 и ρ_1 , нанесены штриховыми линиями на рис. 1 и 2 соответственно. Из анализа этих кривых следует, что выигрыш в точности оценок, обеспечиваемый измерителем, показанным на рис. 3, может быть существенным, особенно в случае малых значений q , представляющих основной практический интерес. В то же время при весьма больших значениях q точности оценок в несколько более сложном по структуре измерителе рис. 3 и более простом измерителе [5] практически совпадают.

СПИСОК ЛИТЕРАТУРЫ

1. Возенкрафт Дж., Джекобс И. Теоретические основы техники связи. М.: Мир, 1969.
2. Вопросы статистической теории радиолокации/П. А. Бакут, И. А. Больщаков, Б. М. Герасимов и др.; Под ред. Г. П. Тартаковского. М.: Сов. радио, 1963. Т. 1.
3. Дубинский Б. А., Слыши В. И. Радиоастрономия. М.: Сов. радио, 1973.
4. Левин Б. Р., Шварц В. Вероятностные модели и методы в системах связи и управления. М.: Радио и связь, 1985.
5. Трифонов А. П., Нечаев Е. П. Совместная оценка величины и ширины спектра мощности случайного сигнала//Изв. вузов СССР. Приборостроение. 1987. Т. 30, № 11. С. 7—10.
6. Куликов Е. И., Трифонов А. П. Оценка параметров сигналов на фоне помех. М.: Сов. радио, 1978.
7. Трифонов А. П., Шинаков Ю. С. Совместное различение сигналов и оценка их параметров на фоне помех. М.: Радио и связь, 1986.

Рекомендована кафедрой
радиофизики

Поступила в редакцию
27.04.93 г.

Изв. вузов. Приборостроение. 1994. № 2

УДК 519.95

КОНЦЕПТУАЛЬНАЯ МОДЕЛЬ ИЕРАРХИЧЕСКИХ ИНФОРМАЦИОННО-УПРАВЛЯЮЩИХ СИСТЕМ

В. А. ДУЛЬЦЕВ, А. А. ЛЯМКИН, Н. П. МИКУЛЕНКО

Санкт-Петербургский государственный электротехнический университет

Рассматривается концептуальная модель иерархических информационно-управляющих систем. Предлагается способ описания структуры системы и моделей ее функционирования.

Первым и наиболее важным этапом, определяющим успех или неудачу процесса моделирования, является построение концептуальной модели системы и ее формализация. Возникающие при этом трудности обусловливаются сложностью моделируемой системы, что особенно относится, в частности, к иерархическим информационно-управляющим системам (ИУС). Примерами ИУС являются гибкие производственные системы, системы мониторинга и системы управления движением судов в воздушных и морских экваториях, а также многие виды военно-технических систем. Функционирование ИУС сводится к материальному, энергетическому или информационному воздействию на окружающую среду Q [2], под которой, в первую очередь, понимаются другие (часто не менее сложные) технические системы. В самом общем случае эти системы могут находиться в конфликтной ситуации, противодействуя друг другу.

Основой для построения концептуальной модели любой системы служит ее содержательное описание. Анализ различных ИУС устанавливает иерархичность их структуры и позволяет выделить четыре типа используемых в них средств (основных структурных компонентов): средства воздействия V на окружающую среду; средства технического зрения, иначе обнаружители O ; средства управления U ; средства дви-